

디 이 젤 機 關 燃 料 噴 射 系 의 시 물 레 이 션

Simulation of the Fuel-Injection System in a Diesel Engine

蔡 載 宇** · 吳 信 奎*

Jae-Ou Chae · Shin-Kyu Oh

Abstract

Recently, the problem of exhaust gas pollution is increasingly being aggravated by the active use of the Diesel engine. For the fuel-injection system which affects the composition of exhaust gas from the Bosch type single-hole nozzle in the Diesel engine, a mathematical model was set up to study pressure variations in the high pressure pipe, the injection rate, and the needle lift.

The fundamental equations of the mathematical model have been solved by the Newton-Raphson Method applying the Finite Difference Method. The effective stroke of the injection pump plunger due to a change in engine rpm was calculated by the measurement of Control Rack, Pinion, and Plunger sizes and by the use of Characteristic Curve of Governor.

The computed results for the pressure variations in the high pressure pipe and needle lift at 800 rpm and 1000 rpm are in good agreement with experimental ones in general.

By a developed program, the effects of other various parameters will be calculated for the performance of the fuel-injection system.

記 號		P	：壓力	N/m ²
a	：加速度	m/s ²	S	：面積
C	：減衰係數	N.s/m	T	：時間
c	：音速	m/s	U	：速度
D	：流量係數		V	：体積
E	：体積彈性係數	N/m ³	X	：길이
K	：스프링常數	N/m	Y	：揚程
M	：質量	kg	α	：受壓有效係數
			ρ	：密度
				kg/m ³

*正會員、仁荷大學校 機械工學科

**仁荷大學校 大學院

添 字

- c : 空洞
 d, de : 吐出밸브 혹은 吐出밸브室
 da : 連絡孔
 LS : 吐出밸브室 出口
 LL : 노즐蓄壓室 入口
 n, na, nb : 노즐 혹은 니이들 밸브
 nc : 노즐噴口部
 p : 플런저 혹은 플런저 배럴室
 ps : 燃料流入口

1. 緒 論

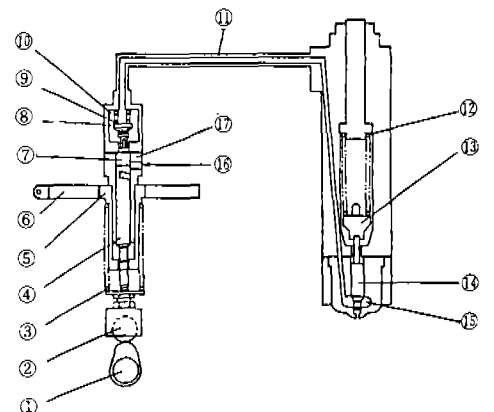
디이젤 機關에 있어서 燃料噴射는 燃料噴射機構에 依해 이루어지며 機關 運轉時 最適의 噴射壓力으로 適當한 燃料量을 실린더내에 噴射해 주기 為해서는 燃料噴射機構의 解析과 그 解析에 따른 設計 및 製作이 要求된다.

近來에는 디이젤 機關의 活潑한 使用으로 因하여 CO, NO_x, THC 等의 公害問題가 深刻히 擡頭되고 있어 排出ガス 組成에 커다란 影響을 주는 燃料噴射系의 解析은 極히 重要한 일이다.

燃料噴射系를 解析하기 為해 많은 實驗과 數學的 모델 作業이 遂行되어 왔으며^(1, 2, 3, 4, 5) 우리나라에서는 1960年代 後半부터 이루어지고 있다.^(6, 7, 8, 9, 10)

이中 디지털 컴퓨터를 利用한 噴射系의 解析內容을 考察해 보면 機關回轉數 變化에 따른 噴射펌프 플런저(以下 플런저로 稱한다)의 回轉은 考慮하지 않고 空洞現象을 考慮하여 基本方程式을 有限差分法을 利用한 單純 反復法으로 풀어 理論計算 結果로 燃料噴射系를 檢討하였거나⁽⁶⁾ 機關回轉數 變化에 따른 플런저의 回轉은 考慮하였으나 空洞現象은 考慮하지 않고⁽⁹⁾ 基本方程式을 有限差分法의 Runge-Kutta 方法에 依한 理論計算 結果와 實驗에 依한 結果를 比較 檢討하고 있다.⁽¹⁰⁾

本 研究에서는 디이젤 機關에 使用되고 있는 Bosch式 單孔 노즐形 燃料噴射機構의 플런저, 조절액 및 피니언의 크기를 測定하고 조속기 性能曲線과의 關係로 부터 機關回轉數 變化에 따른



9. Delivery Valve Spring
 10. Delivery Chamber
 11. High Pressure Pipe
 12. Needle Valve Spring
 13. Spring Connector
 14. Needle Valve
 15. Nozzle Chamber
 16. Inlet(or Spill)Port
 17. Plunger Barrel

Fig. 1 Schematic Illustration of Injection System

플런저의 有效行程을 求하여 그 값을 數學的 모델에 適用 시켰다. 基本方程式은 有限差分法을 利用한 Newton-Raphson의 方法으로 풀어 空洞을 考慮하였을 때와 考慮하지 않았을 때의 噴射管內 壓力 및 니이들밸브 揚程 等을 檢討하였고 또한 實驗值와도 比較하였다.

2. 조절액의 位置와 플런저의 回轉關係

2-1 조절액 및 피니언의 諸元

조절액 및 피니언의 諸元은 Table 1과 같다.

Table 1. Specification of Control Rack and Pinion

	Module	Pitch (mm)	P. C. D (mm)	Pressure Angle (°)	Stroke (max) (mm)
Rack	0.8	1.572	∞	14	21(25)
Pinion	0.5	1.572	21.5	14	

2-2 플런저의 諸元

플런저의 크기를 測定하여 Fig. 2에 나타내었다.

2-3 조속기 性能曲線

조속기 性能曲線은 Fig. 3에 나타나 있다.

2-4 有效行程의 算出

Fig. 2와 Fig. 4를 參照하면 조절액 및 피니언

의組立은各各의中心에서 이루어지며 이組立位置에서 -12.5mm position를角度로換算해 보면

$$\theta_i^\circ = \frac{360^\circ \times 12.5}{\text{PCD} \times \pi}$$

가 되고

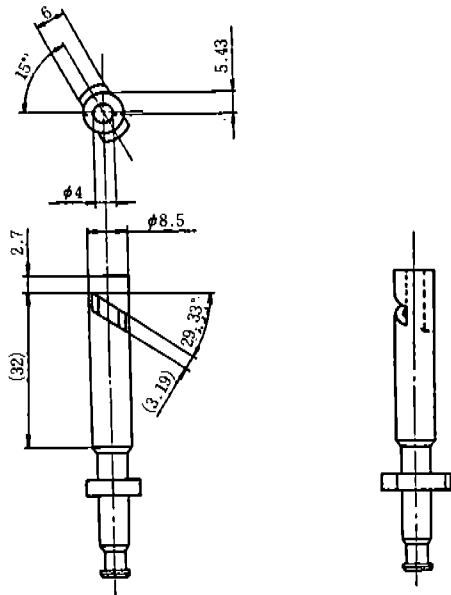


Fig. 2 Specification of Plunger

$$\theta_1^\circ = \theta_i^\circ - 15^\circ$$

$$\theta_2^\circ = 90^\circ - \theta_1^\circ$$

이다. 따라서任意의角度 θ_s (Rad)에對해서는 조절랙의변위(mm) = $r \times \theta_s$

의關係가成立하므로

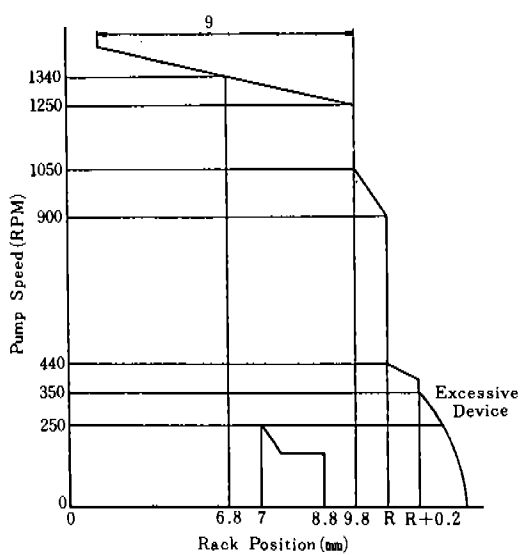
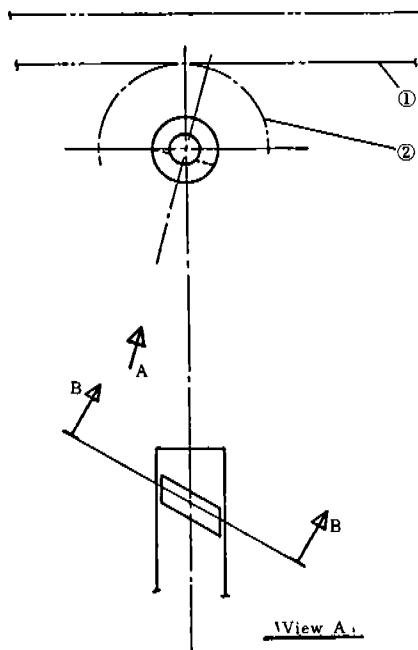
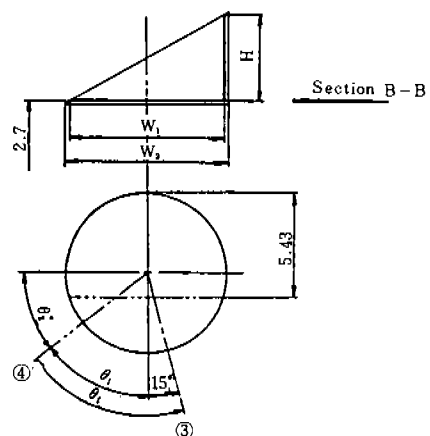


Fig. 3 Characteristic Curve of RAD Type Governor (Full Load)



1. Rack

2. P.C. of Pinion

3. Setting Position

4. Zero Point of Effective Stroke

Fig. 4 Concerning Drawing of H Calculation

$$\theta_s = \frac{\text{조절액의 변위 (mm)} \times 180^\circ}{r (\text{mm}) \times \pi}$$

$\theta_3 = \theta_2 + \theta_s$ 라 하면 θ_3 에 따른 경사흡까지의 높이 H는

(i) $\theta_3 \geq 90^\circ$ 일 때

$$\theta_4 = \theta_3 - 90^\circ$$

$$H = \left(\frac{W_1}{2} + \sin \theta_4 \times \frac{D}{2} \right) \tan \theta_4$$

(ii) $\theta_3 < 90^\circ$ 일 때

$$H = \left(\frac{W_1}{2} - \cos \theta_3 \times \frac{D}{2} \right) \tan \theta_3$$

가 된다. 여기에서 r은 피니언의 피치円의 半徑, PCD는 피치円 直徑, θ° 는 플런저의 경사흡의 각을 각각 나타낸다. 따라서

有效行程 = $2.7 + H$ – 燃料流入口直徑 –

Prestroke

가 된다.

3. 基本方程式

燃料噴射系를 다음의 假定下에 평평側, 노출側 및 噴射管側의 세部分으로 나누어 基本方程式을 세운다^(2, 11)

3-1 假 定

- 1) 壓力 및 時間變化에 따른 温度變化는 無視한다.
- 2) 燃料의 体積彈性係數, 音速, 噴射管內抵抗, 密度 等은 一定하다.
- 3) 燃料噴射系 構造物의 韌性變形은 考慮하지 않는다.
- 4) 실린더內 壓力은 一定하다.
- 5) 空洞은 絶對壓力 0 N/m^2 에서 發生한다.
- 6) 各室과 噴射管의 各 区間 및 各 斷面에서, 어느 瞬間에 壓力이나 空洞 程度가 均一하다.
- 7) 噴射管 兩端의 壓力 損失은 無視한다.
- 8) 벨브가 닫히는 瞬間이나 벨브가 變位 上限線에 衝突하는 瞬間의 反撓力은 無視한다.
- 9) 紹縮部의 流量係數는 一定하다.

10) 管內호름은 一次元으로 한다.

3-2 基本方程式

3-2-1 평평側

1) 플런저 배럴室의 連續方程式

플런저의 움직임에 依해 排除된 燃料量은 플런저 배럴室에서 壓縮된 燃料量, 燃料流入口로 빠져나가는 燃料量, 吐出밸브를 通하여 吐出밸브室로 빠져나가는 燃料量 및 吐出밸브의 움직임에 依한 容積變化量의 합과 같다.

$$\begin{aligned} U_p S_p = & \frac{V_p}{E_p} \frac{dP_p}{dT} + \textcircled{2} D_{pa} S_{pa} \left(\frac{2}{\rho} | P_p - P_{ps} | \right)^{0.5} \\ & + \textcircled{2} D_{da} S_{da} \left(\frac{2}{\rho} | P_d - P_d | \right)^{0.5} + S_d \frac{dY_d}{dT} \end{aligned} \quad \dots \dots \dots \quad (1)$$

여기에서 ②는 絶對值의 符號를 表示하여 陽이면 +1, 陰이면 -1이다.

2) 吐出밸브室의 連續方程式

플런저 배럴室에서 吐出밸브周圍를 通하여 吐出밸브室로 들어온 燃料量과 吐出밸브의 움직임에 依한 容積變化量과의 합은 吐出밸브室에서 壓縮된 燃料量과 噴射管으로 빠져나가는 燃料量과의 합과 같다.

$$\begin{aligned} S_d \frac{dY_d}{dT} + \textcircled{2} D_{da} S_{da} \left(\frac{2}{\rho} | P_d - P_a | \right)^{0.5} = & \frac{V_d}{E_d} \frac{dP_d}{dT} \\ + U_{ls} S_l \end{aligned} \quad \dots \dots \dots \quad (2)$$

3) 吐出밸브의 運動方程式

$$\begin{aligned} M_d \frac{d^2 Y_d}{dT^2} + C_d \frac{dY_d}{dT} + K_d Y_d - \alpha_{de} S_d (P_d - P_a) \\ - W_{do} \end{aligned} \quad \dots \dots \dots \quad (3)$$

여기에서 W_{do} 는 殘留壓力에 依한 힘과 初期 스프링力의 합이다.

4) 管端의 境界條件

$$P_d = P(1) \quad \dots \dots \dots \quad (4)$$

3-2-2 노출側

1) 노출蓄壓室의 連續方程式

噴射管에서 노출蓄壓室로 流入된 燃料量은 노

$$\alpha_{de} S_d P_{d(j)} = \alpha_{de} S_d P_{d(j)} + \frac{M_d}{(\Delta T)^2} (Y_{d(j)} - 2Y_d \\ (j-1) + Y_{d(j-2)}) + \frac{C_d}{\Delta T} (Y_{d(j)} - Y_{d(j-1)}) \\ + K_d Y_{d(j)} + W_{do} \quad \dots \dots \dots (15)$$

또 $c = \frac{\Delta X}{\Delta T}$ 로 부터

$$P_{d(j)} = P_{d(j-1)} + c \rho (U_{d(j)} - U_{d(j+1)}) \dots \dots \dots (16)$$

(13), (14), (15), (16)式을 利用하여 吐出밸브 採程을
1) $Y_{d(j)} = 0$, 2) $0 < Y_{d(j)} < Y_{dmax}$ 및 3) $Y_{d(j)} = Y_{dmax}$ 로 分類하여 각 段階마다 吐出밸브室의 壓力 P_d 가 $P_{d(j)} > 0$ 이거나 $P_{d(j)} = 0$ 에 따라 方程式의 解를 求한다.

1) $Y_{d(j)} = 0$ 일 때

(13)式을 利用하여 二次方程式을 풀다.

2) $0 < Y_{d(j)} < Y_{dmax}$ 일 때

(15)式을 아래의 形態로 變形시킨다.

$$Y_{d(j)} = A_0 P_{p(j)} - A_0 P_{d(j)} + A_1 \dots \dots \dots (17)$$

여기에서

$$A_0 = \frac{\alpha_{de} S_d}{M_d / (\Delta T)^2 + C_d / \Delta T + K_d} \\ A_1 = \frac{M_d / (\Delta T)^2 (2Y_{d(j-1)} - Y_{d(j-2)}) + C_d Y_d}{M_d / (\Delta T)^2 + C_d / \Delta T} \\ \frac{(j-1) / \Delta T + W_{do}}{+ K_d}$$

이다.

(17)式을 (13)式에 代入한다.

$$A_{11} P_{p(j)} + A_{12} P_{d(j)} + A_{13} (|P_{p(j)} - P_{d(j)}|)^{0.5} + \\ A_{14} S_{da} (|P_{p(j)} - P_{d(j)}|)^{0.5} = A_{15} \dots \dots \dots (18)$$

여기에서

$$A_{11} = \frac{V_{p(j)}}{E_p \Delta T} + A_0 \frac{S_d}{\Delta T}$$

$$A_{12} = -A_0 \frac{S_d}{\Delta T}$$

$$A_{13} = \textcircled{2} D_{pa} S_{pa} \left(\frac{2}{\rho} \right)^{0.5}$$

$$A_{14} = \textcircled{2} D_{da} \left(\frac{2}{\rho} \right)^{0.5} \\ A_{15} = S_p U_{p(j)} + \frac{V_{p(j)}}{E_p \Delta T} P_{p(j-1)} - A_1 \frac{S_d}{\Delta T} + \frac{S_d}{\Delta T} \\ Y_{d(j-1)}$$

이다.

(16)式과 (17)式을 (14)式에 代入한다.

$$A_{21} P_{p(j)} + A_{22} P_{d(j)} + A_{23} S_{da} (|P_{p(j)} - P_{d(j)}|)^{0.5} \\ - A_{24} \dots \dots \dots (19)$$

여기에서

$$A_{21} = A_0 \frac{S_d}{\Delta T} \\ A_{22} = -A_0 \frac{S_d}{\Delta T} - \frac{U_d}{E_d \Delta T} - \frac{S_L}{c \rho} \\ A_{23} = \textcircled{2} D_{da} \left(\frac{2}{\rho} \right)^{0.5} \\ A_{24} = -A_1 \frac{S_d}{\Delta T} + \frac{S_d}{\Delta T} Y_{d(j-1)} - \frac{V_d}{E_d \Delta T} P_{d(j-1)} - \\ \frac{S_L}{c \rho} P_{d(j-1)} + U_{d(j)} S_L$$

이다.

(18)式과 (19)式에 있는 $P_{p(j)}$ 대신 P_{pa} 를, $P_{d(j)}$ 대신 P_{da} 를 假定한다.

$$F_1 = A_{11} P_{pa} + A_{12} P_{da} + A_{13} (|P_{pa} - P_{da}|)^{0.5} \\ + A_{14} S_{da} (|P_{pa} - P_{da}|)^{0.5} - A_{15} \dots \dots \dots (20)$$

$$F_2 = A_{21} P_{pa} + A_{22} P_{da} + A_{23} S_{da} (|P_{pa} - P_{da}|)^{0.5} \\ - A_{24} \dots \dots \dots (21)$$

(20)式과 (21)式으로 부터

$$M_{11} = \frac{\partial F_1}{\partial P_{pa}}, \quad M_{12} = \frac{\partial F_1}{\partial P_{da}} \dots \dots \dots (22a)$$

$$M_{21} = \frac{\partial F_2}{\partial P_{pa}}, \quad M_{22} = \frac{\partial F_2}{\partial P_{da}} \dots \dots \dots (22b)$$

를 求하여

$$M_{11} \Delta P_{pa} + M_{12} \Delta P_{da} = -F_1 \dots \dots \dots (23a)$$

$$M_{21} \Delta P_{pa} + M_{22} \Delta P_{da} = -F_2 \dots \dots \dots (23b)$$

로 부터 ΔP_{pa} 와 ΔP_{da} 를 求할 수 있고

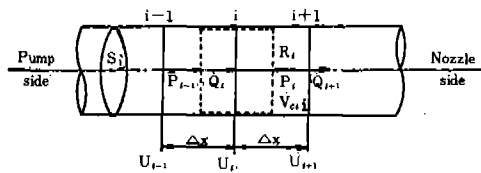


Fig. 6 Division of Pipe

있다.

$$U_{(i,i+1)} = \frac{U_{(i+1,i)} + U_{(i-1,i)} - U_{(i,i-1)} + 2k\Delta T U_{(i,i)}}{1 + 2k\Delta T}$$

4-2 計算에 사용된 数值 및 結果

위의 方程式을 풀기 為하여 噴射管의 區間을 20個로 나누었으며, 아래의 数值를 代入하였다.

플린저 直徑 : 8.5×10^{-3} m

噴射管 길이 : 1m

音速 : $1250 \text{m/s}^{(4,6)}$

燃料의 密度 : 830kg/m^3

燃料의 体積彈性係數 : $c^2 \rho$

噴射管 内徑 : 1.75×10^{-3} m

空洞을 考慮하였을때와 考慮하지 않았을때를 比較하기 為하여 燃料噴射泵速度 800rpm과 1000rpm을 選定하여 殘留壓力 0 N/m²의 條件으로 計算하여본 結果 800rpm 일때는 Fig. 7과 같아, 1000rpm 일때는 Fig. 8과 같이 각각 나타났다. 實線은 空洞을 考慮한 境遇이며 點線은 空洞을 考慮하지 않은 境遇이다. 泵側은 噴射管의 0.05m, 노즐側은 噴射管의 0.75m 位置이며 두 計算值들은 같은 傾向을 나타내고 있다. 一次波가 지난뒤의 二次波는 空洞을 考慮한 境遇에는 壓力波의 急激한 變動現象을 나타내고 있으나 空洞을 考慮하지 않은 境遇에는 壓力波의 急激한 變動現象은 볼 수 없다. 燃料噴射系의 諸般因子 變化에 따라 噴射壓力, 噴射率 等이 어떠한 影響을 받는가를 考察하여 燃料噴射機構設計의 基礎資料를 얻기 為해서는 空洞을 無視하고 燃料噴射系를 檢討할 수 있으나 噴射系에 空洞이 發生 한다는 實驗的 研究⁽¹¹⁾가 報告되었고

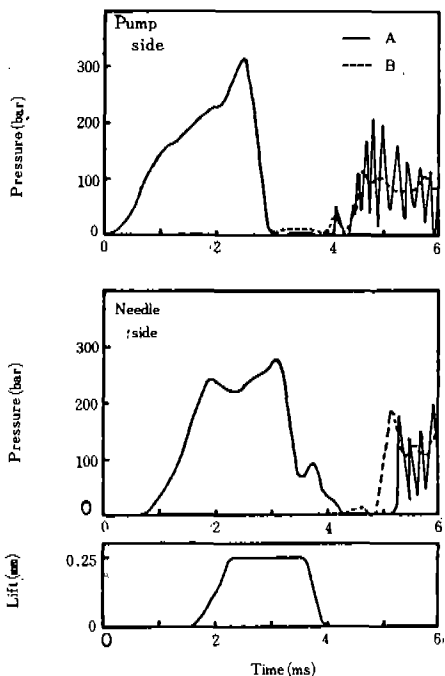


Fig. 7 Effect of Cavitation in the high Pressure Pipe at 800rpm.
A : Considering Cavitation Effect
B : Neglecting Cavitation Effect

前述한바와 같이 二次波의 波動形態도 空洞을 考慮한 것이 實驗值와 類似하므로 空洞을 考慮하여 實驗值와 比較하여 보았다. 燃料噴射泵速度 800rpm과 1000rpm에서의 比較는 Fig. 9 와 Fig. 10에 나타나 있다. 實線은 實驗值이며 點線은 計算值이다. 800rpm의 境遇, 泵側 最高壓力이 實驗에서는 310bar 인데 對해 計算值는 330bar이며, 1000rpm 일때는 泵側 最高壓力이 實驗值는 340bar 인데 計算值는 360bar이며 二次噴射도 나타났다. 二次噴射가 나타난 것은 噴射管內 抵抗과 燃料流入口 및 吐出밸브 等의 流量係數의 不正確性 때문이라 생각된다. 燃料噴射泵速度 800 rpm 및 1000 rpm의 計算結果 모두 實驗值보다 높은 殘留壓力을 나타내었으며 800 rpm의 境遇 니이들밸브 閉止壓力의 70% 程度가 되었다.⁽¹²⁾ 實驗值보다 二次波가 먼저 일어나는 것은 音速, 噴射管內의抵抗 및 空洞의 不正確性 때문이라 생각된다.

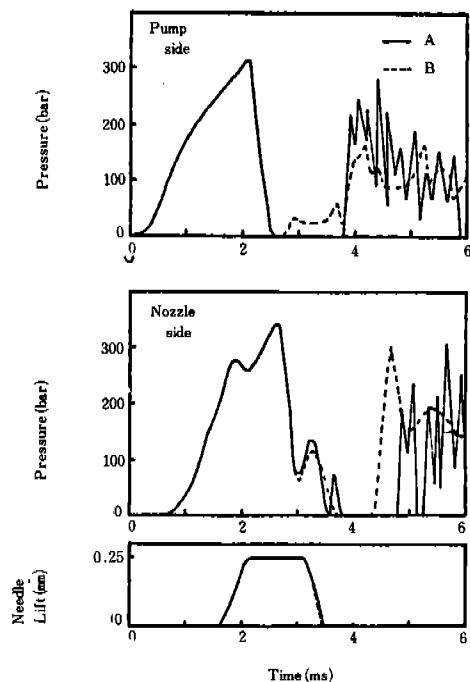


Fig. 8 Effect of Cavitation in the high Pressure Pipe at 1000rpm.
A : Considering Cavitation Effect
B : Neglecting Cavitation Effect

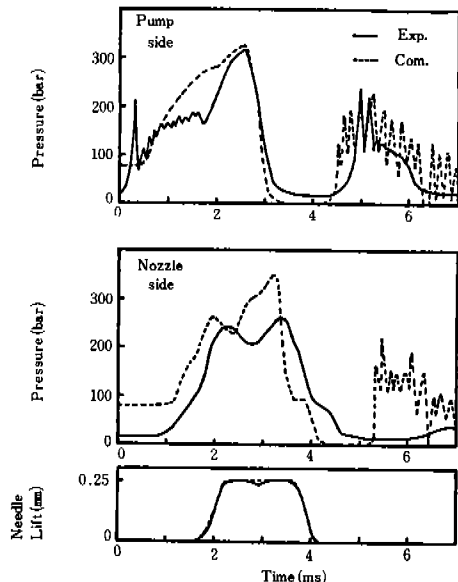


Fig. 9 Comparison of Experimental with Computed Results at 800rpm.

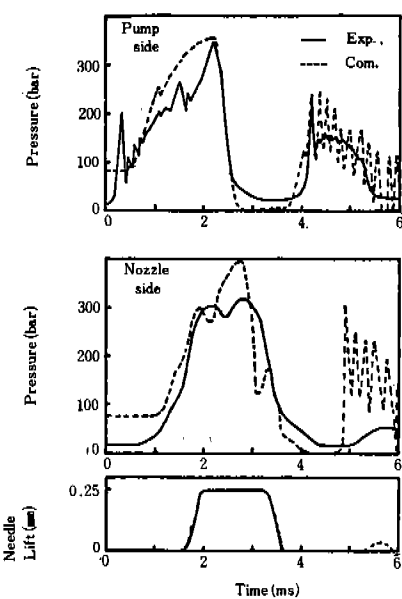


Fig. 10 Comparison of Experimental with Computed Results at 1000rpm.

5. 結論

本研究는 燃料噴射機器 設計에 도움을 주고자 디젤 機器의 燃料噴射壓力 等을 數學的 모델을 通하여 豫測하였다. 機器의 回轉數 變化에 따른 플レン저의 回轉 變化를 考慮하기 為해 조절 랙, 피니언 및 플런저의 크기를 測定하여 조속기 性能曲線과의 關係로 부터 플런저의 有效行程을 求하였고 그 값을 噴射系의 數學的 모델에 適用시켜 다음과 같은 結論을 얻었다.

- 1) 残留壓力 0 N/m^2 的 條件으로 空洞을 考慮하였을 때의 數值解析 結果와 空洞을 考慮하지 않았을 때의 數值解析 結果와는 別 差異가 없으나 二 次波에서 空洞을 考慮한 境遇가 實驗值와 類似한 急激한 壓力波의 變動 現象을 나타내었다.
- 2) 燃料噴射泵之速度 800 rpm과 1000 rpm에서의 實驗值와 空洞을 考慮한 境遇의 計算值와 比較해본 結果 泵側 壓力과 니이들밸브 揚程의 傾向은 잘 一致하였으며 計算值의 留殘壓力이 800 rpm에서는 實驗值보다 높은 70 bar이고 1000 rpm에서는 80 bar로 나타났으며 노즐側으로의 壓力傳播도 빨랐다.

3) 開發된 컴퓨터 프로그램을 利用하여 噴射系 諸般因子의 噴射壓力 및 噴射率等에 미치는 影響을 考察함으로써 燃料噴射機構의 性能豫測이 可能하다.

後 記

本研究를 遂行하는데 必要한 諸元 및 實驗值를 提供하여 주신 大宇重工業(株) 技術研究所와 助言과 參考資料를 提供해 주신 金熙喆 博士님께 感謝드립니다.

參 考 文 獻

1. 廣安博之 外, “燃料噴射系の 解析的 研究,” 日本機械學會論文集, 34券 260號, pp. 755–768 (1968. 4)
2. 松岡信 外, “ディーゼル機関 燃料噴射系に 關する研究,” 日本機械學會論文集(2部), 40券 332號, pp. 1124–1133 (1974. 4)
3. B. E Knight M. A, “Fuel-Injection System Calculations,” PIME, Autom. Div., No. 1, pp. 25–33 (1960–61)
4. M. Ikegami, et al., “Simulation of Processes of Fuel Injection,” Bull. JSAE No. 5, pp. 19–29 (1973)
5. K. Kumar, et al., “A Finite Difference Scheme for the Simulation of a Fuel Injection System,” SAE 831337, pp. 235–258 (1983)
6. 金熙喆, “無氣噴油法에 있어서의 燃料噴射管內 壓力에 關한 研究,” Coll. Eng. SNU. Rep. Vol. 1, No. 2 (1965)
7. 金熙喆, “디이젤 機關에서의 噴射前의 燃料噴射펌프 特性에 關한 研究,” 大韓機械學會誌, 第8券 3號, pp. 1–21 (1968)
8. 김영석, “디이젤엔진에서 연료분사계의 시뮬레이션,” 한국과학원 석사학위논문 (1979. 2)
9. 허경, “BOSCH식 연료분사계의 거동 해석을 위한 컴퓨터 프로그래밍 작성에 관한 연구,” 대우중공업(주) 기술세미나집(엔진분야), pp. 121–126 (1983. 12)
10. 장낙영 外, “보쉬식 직렬형 연료분사계의 시뮬레이션에 관한 연구,” 大韓機械學會論文集, 第8券 第4號 (1984)
11. Kojiro Yamaoka, et al., “Computer Technique for Evaluation of Cavitation Characteristics of Certain Phases of Fuel Injection in Fuel Injection System,” Trans. SAE 730663, pp. 2347–2363 (1973)
12. 金熙喆 俞炳澈, 内燃機關, p. 293, 文運堂, 서울 (1981)